

北大工学部 正員・薄木征三

北見工業大学 正員 菅原登

1. 要旨 曲線橋においては、特にねじりに対する有利性から箱桁形式のものが広く採用されているが、フランジ幅と桁長との比が大きくなれば直線箱桁の場合と同様の現象、即ちフランジにおける応力分布の構造論からの差異 (Shear lag 現象) が生ずる事が予想される。これを明らかにするには、厳密には箱桁を折板構造として解析せねばならぬが、これへの漸近的理論として、曲線桁の曲げ応力に対してフランジを扇形 Scheibe と考え、直線箱桁の場合と同様の手法によって応力函数を求めて、ねじりに対する全断面有効として曲げ応力に加わるものとして解析した。

2. 極座標での応力函数 $F(r, \theta)$ 記号は慣用に従うと、応力函数 F の満たすべき条件は

$$\left(\frac{\partial^2}{\partial r^2} + \frac{1}{r} \frac{\partial}{\partial r} + \frac{1}{r^2} \frac{\partial^2}{\partial \theta^2} \right) \left(\frac{\partial^2 F}{\partial r^2} + \frac{1}{r} \frac{\partial F}{\partial r} + \frac{1}{r^2} \frac{\partial^2 F}{\partial \theta^2} \right) = 0, \quad (1)$$

$$\text{応力成分: } \sigma_r = \frac{1}{r^2} \frac{\partial^2 F}{\partial \theta^2} + \frac{1}{r} \frac{\partial F}{\partial r}, \quad \sigma_\theta = \frac{\partial^2 F}{\partial r^2}, \quad \tau_{r\theta} = -\frac{\partial}{\partial r} \left(\frac{1}{r} \frac{\partial F}{\partial \theta} \right)$$

$$\text{歪成介: } \epsilon_r = (\sigma_r - \nu \sigma_\theta)/E, \quad \epsilon_\theta = (\sigma_\theta - \nu \sigma_r)/E, \quad \gamma_{r\theta} = \tau_{r\theta}/G, \quad (2)$$

Scheibe の両端で $\sigma_\theta = 0$, を満たす様に F として次式を採用する。

$$F = \sum_n A (Y^\beta + BY^\beta + CY^{\beta+2} + DY^{\beta+2}) \sin \beta \theta, \quad (3)$$

ここで $A \sim D$ は積分定数, $\beta = n\pi/b$ で n は箱桁の中心角である。

3. 積分定数の決定 境界条件として直線箱桁の場合と同様の条件、即ち $r = a, b$ で $\sigma_r = 0$, とする。……(4)

次に有効巾 λ_{ea} , λ_{eb} を次の様に定義する。(図-2 参照)

$$\lambda_{ea} \cdot \sigma_{ea} = \int_a^b \sigma_{ea} dr, \quad \lambda_{eb} \cdot \sigma_{eb} = \int_b^b \sigma_{eb} dr, \quad (5)$$

ここで y_i は θ 曲線の半径方向勾配で、その平均勾配を示す点の半径、即ち $(\frac{\partial \theta}{\partial r})_{r=y_i} = \frac{\int_a^b \frac{\partial \theta}{\partial r} dr}{b-a} = \frac{\sigma_{eb} - \sigma_{ea}}{b-a} \quad (6)$

次に上下 $= \lambda_{ea}$, λ_{eb} およびフランジ巾 b に作用する曲線桁に作用する曲げモーメント $M(\theta) = \sum_m M_m \sin \beta \theta$ とすると、曲線桁の理論より曲げのみによる直応力 σ_θ は下フランジについて

$$\sigma_\theta = E \epsilon_\theta = \frac{1}{r} \frac{\sum_m M_m \sin \beta \theta \cdot h}{\int_F \frac{1}{r} Y^2 dF / 2} = \frac{1}{r} \frac{\sum_m M_m \sin \beta \theta}{W(\theta)} \quad (7)$$

$$\therefore W(\theta) = \frac{2}{h} \int_F \frac{1}{r} Y^2 dF = \frac{h^2 t}{6} \left(\frac{1}{a} + \frac{1}{b} \right) + h d \log \left(\frac{1 + \lambda_{ea}/a}{1 - \lambda_{eb}/b} \right) \div \frac{h^2 t}{6} \left(\frac{1}{a} + \frac{1}{b} \right) + h d \left(\frac{\lambda_{ea}}{a} + \frac{\lambda_{eb}}{b} \right).$$

$r = a, b$ において曲線桁の歪 ϵ_θ を等しくして 2θ の条件式が得られる。

以上の条件より、 $A \sim D$ に関する以下の連立方程式が得られる。即ち

$$(A) + (B) \alpha^{\beta-1} (\beta-1) + B \bar{\alpha}^{\beta-1} (\beta+1) + C \bar{\alpha}^{\beta+1} (\beta-1)(\beta+2) + D \alpha^{\beta+1} (\beta+1)(\beta-2) = 0, \quad (8)$$

$$B^{\beta-1} \beta (\beta-1) + B \bar{B}^{\beta-1} \beta (\beta+1) + C \bar{B}^{\beta+1} (\beta-1)(\beta+2) + D \bar{B}^{\beta+1} (\beta+1)(\beta-2) = 0, \quad (9)$$

$$(C) + (D) (\bar{B}^{\beta-1} \beta (\beta-1)) + B (\bar{B}^{\beta-1} \bar{\alpha}^{\beta-1} \beta (\beta+1)) + C (\bar{B}^{\beta+1} \bar{\alpha}^{\beta+1} (\beta-1)(\beta+2)) + D (\bar{B}^{\beta+1} \alpha^{\beta+1} (\beta+1)(\beta-2)) = 0, \quad (10)$$

(5) の両辺を加えて Y_h を消去し、これと (7) より次式が得られる。

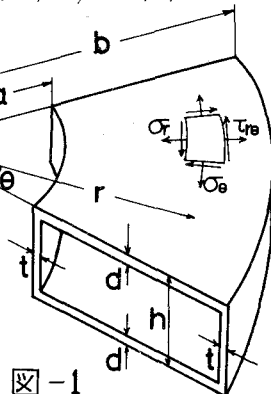


図-1

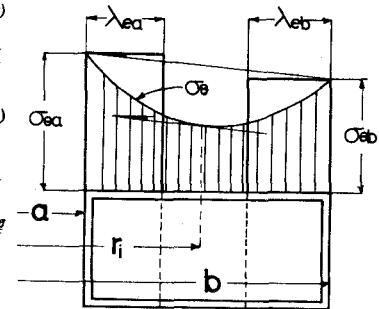


図-2

$$A \{ h d \{ (B^{\beta-1} \alpha^{\beta}) \beta - B (\bar{B}^{\beta-1} \bar{\alpha}^{\beta}) \beta + C (B^{\beta+1} \bar{\alpha}^{\beta+1}) (2-\beta) + D (B^{\beta+1} \alpha^{\beta+1}) (\beta+2) \} \\ + \frac{hc}{6} \left(\frac{1}{\alpha} + \frac{1}{\bar{\alpha}} \right) \{ (\alpha^{\beta}) \beta (\beta-1) + B \bar{\alpha}^{\beta} \beta (\beta+1) + C \bar{\alpha}^{\beta+1} (\beta-1) (\beta-2) + D \alpha^{\beta+1} (\beta+1) (\beta+2) \} \} + M_n = 0, \quad \dots \quad (11)$$

(8) ~ (11) を解けば A ~ D は以下の様になる。ただし $\kappa = a/b$ である。

$$A = H M_n / H, \quad B = -B^{\beta} (\beta-1) (\beta+2) (1-\kappa) (\kappa^{\beta-1} - \bar{\kappa}^{\beta+1}) + (\beta-2) (1-\bar{\kappa}) (\bar{\kappa}^{\beta+1} - \kappa^{\beta+1}) / H, \\ C = B^{\beta-2} \beta (\beta+1) (1-\kappa^{\beta+1}) (\kappa^{\beta-1} - \bar{\kappa}^{\beta-1}) / H, \quad D = B^{\beta-2} \beta (\beta-1) (1-\bar{\kappa}^{\beta+1}) (\kappa^{\beta-1} - \bar{\kappa}^{\beta-1}) / H, \\ \therefore r = H = (\beta+1) \{ (\beta+2) (1-\kappa^{\beta+1}) (\kappa^{\beta-1} - \bar{\kappa}^{\beta+1}) + (\beta-2) (1-\bar{\kappa}^{\beta+1}) (\kappa^{\beta-1} - \bar{\kappa}^{\beta+1}) \}, \\ \bar{H} = h d b^{\beta} / \beta \{ (\beta+1) (1-\kappa^{\beta}) [(\beta+2) (1-\kappa^{\beta+1}) (\kappa^{\beta-1} - \bar{\kappa}^{\beta+1}) + (\beta-2) (1-\bar{\kappa}^{\beta+1}) (\kappa^{\beta-1} - \bar{\kappa}^{\beta+1})] \\ + (\beta-1) (1-\bar{\kappa}^{\beta}) [(\beta+2) (1-\kappa^{\beta+1}) (\kappa^{\beta-1} - \bar{\kappa}^{\beta+1}) + (\beta-2) (1-\bar{\kappa}^{\beta+1}) (\kappa^{\beta-1} - \bar{\kappa}^{\beta+1})] \\ + 2\beta (1-\kappa^{\beta+1}) (1-\bar{\kappa}^{\beta}) (\kappa^{\beta-1} - \bar{\kappa}^{\beta}) \} + \frac{hc}{6b} (1+\kappa^{\beta}) \cdot b^{\beta} \beta \cdot 4(\beta^2-1) (\kappa^{\beta-2} - \bar{\kappa}^{\beta-2}),$$

応力関数 F が決れば (6) の Y_i が決まる。この Y_i で $r_i = m_i b$ と (5) を計算すれば、有効巾 λ_{ea} 、
 λ_{eb} は以下の様になる。

$$\frac{\lambda_{ea}}{a} = \frac{\sum_n (K_1 M_n \sin \beta \theta) / H}{\sum_n (K_3 M_n \sin \beta \theta) / H}, \quad \frac{\lambda_{eb}}{b} = \frac{\sum_n (K_2 M_n \sin \beta \theta) / H}{\sum_n (K_3 M_n \sin \beta \theta) / H},$$

$$\therefore r_i = K_1 = b^{\beta} \beta \{ (\beta+1) (m_i^{\beta-1} - \bar{m}_i^{\beta}) (\beta+2) (1-\kappa^{\beta+1}) (\kappa^{\beta-1} - \bar{\kappa}^{\beta+1}) + (\beta-2) (1-\bar{\kappa}) (\bar{\kappa}^{\beta+1} - \kappa^{\beta+1}) \\ + (\beta-1) (m_i^{\beta-1} - \bar{m}_i^{\beta}) (\beta+2) (1-\kappa^{\beta+1}) (\kappa^{\beta-1} - \bar{\kappa}^{\beta+1}) + (\beta-2) (1-\bar{\kappa}^{\beta+1}) (\kappa^{\beta-1} - \bar{\kappa}^{\beta+1}) \\ + (\kappa^{\beta-1} - \bar{\kappa}^{\beta}) (\beta+1) (2-\beta) (m_i^{\beta-1} - \bar{m}_i^{\beta}) (1-\kappa^{\beta+1} + (\beta-1)(\beta+2) \times m_i^{\beta+1} - \bar{m}_i^{\beta+1}) (1-\bar{\kappa}^{\beta+1}) \}, \\ K_2 = b^{\beta} \beta \{ (\beta+1) (1-m_i^{\beta}) (\beta+2) (1-\kappa^{\beta+1}) (\kappa^{\beta-1} - \bar{\kappa}^{\beta+1}) + (\beta-2) (1-\bar{\kappa}^{\beta+1}) (\kappa^{\beta-1} - \bar{\kappa}^{\beta+1}) \\ + (\beta-1) (1-m_i^{\beta}) (\beta+2) (1-\kappa^{\beta+1}) (\kappa^{\beta-1} - \bar{\kappa}^{\beta+1}) + (\beta-2) (1-\bar{\kappa}^{\beta+1}) (\kappa^{\beta-1} - \bar{\kappa}^{\beta+1}) \\ + (\kappa^{\beta-1} - \bar{\kappa}^{\beta}) (\beta+1) (2-\beta) (1-m_i^{\beta}) (1-\kappa^{\beta+1} + (\beta-1)(\beta+2) (1-m_i^{\beta+1}) (1-\bar{\kappa}^{\beta+1})) \}, \\ K_3 = 4 b^{\beta} \beta (\beta^2-1) (\kappa^{\beta-2} - \bar{\kappa}^{\beta-2})$$

4. 計算例

下記の如き断面寸法を有する箱桁
に付けての計算例を示す(図-1参照)。

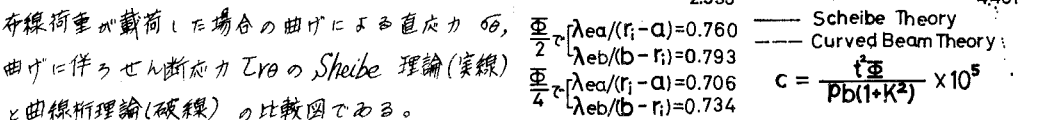
$$a=40m, b=44m, \kappa=\frac{a}{b}=0.9090909,$$

$$d=t=1cm, \quad h=120cm,$$

$$\theta=\pi/15 \text{ rad.}$$

又この時のフランジ中立点長の比は
0.45 である。

右図は、両側の Web 上に $\frac{P}{2}$ の等分



5. 結語 今回は対称問題の場合の有効巾の概念を拡張し(式(5),(6)), 境界条件と1つ式(4)を手元、図-3に見ると結果を得たが、境界条件は最も実状に即したものと見えるべきであるから、十分論議の余地があり、さらにフランジプレート上載荷の問題についても現在研究中である。

文献：伊藤学 函数のフランジの有効巾について(第3回日本道路会議論文集), 倉西正嗣 弾性学 P.358